

# ТЕХНОЛОГИЧЕСКИЕ ПРИЕМЫ ПОВЫШЕНИЯ ПЬЕЗОЭЛЕКТРИЧЕСКИХ ПАРАМЕТРОВ КОМПОЗИТА ПОЛИМЕР-ПЬЕЗОКЕРАМИКА

АЛИЕВ Г.Г., ИМАМВЕРДИЕВА С.Г., КУРБАНОВ М.А.

Институт Физики НАН Азербайджана

Рассмотрены особенности выбора технологических способов улучшения пьезоэлектрических свойств композита полимер-пьезокерамика. Установлено, что циклическая электротермополяризация является более эффективным способом увеличения пьезомодуля и пьезочувствительности. Показано, что причиной улучшения пьезоэлектрических свойств композитов в процессе их циклической электротермополяризации является усиление поляризационных эффектов на границе раздела фаз полимер-пьезоэлектрик.

Реальная структура полимерной матрицы определяет возможности стабилизации зарядов при электротермополяризации и естественно, зависит от температурно-временного режима ее кристаллизации. Подтверждением этого факта являются результаты исследований пьезоэлектрических параметров медленно и быстроохлажденных пьезокомпозиций на основе ПП и пьезокерамики ПКР-ЗМ (рис.1).

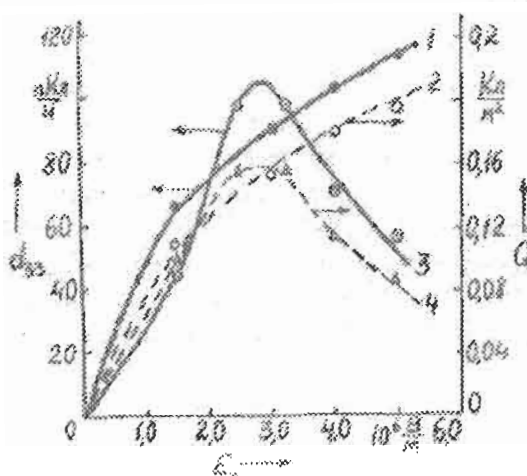


Рис.1. Зависимость  $d_{33}$  и  $Q$  композиций ПП+ПКР-ЗМ от  $E_p$ .

1,2 – медленно охлажденная композиция;  
3,4 – быстроохлажденная композиция.

На этом же рисунке приведены величины стабилизированных зарядов ( $Q$ ) этих композиций, полученных при прочих равных условиях поляризации

Видно, что изменение температурно-временного режима кристаллизации пьезокомпозиций существенно влияет как на величину  $d_{33}$ , так и на концентрацию объемных зарядов, образовавшихся в них процессе поляризации. Эти результаты показывают, что изменение спектра надмолекулярных образований неизбежно сопровождается изменением концентрации и электрического спектра центра захвата зарядов и следовательно, вероятность их стабилизации при поляризации композиций. Экспериментально нами установлено, что циклическая электротермополевая зарядка (поляризация), т.е. нагрев в течение 1 часа и охлаждение 0.5 час. В поле, приводит к заметному улучшению пьезоэлектрических свойств полимерных пьезокомпозиций. Отметим, что циклическая электротермополевая поляризация сначала (от 1 до 3 циклов) приводит к увеличению пьезомодуля до насыщения, а затем дальнейшее

повторение циклов поляризации или не влияет на величину  $d_{33}$ , или же уменьшает его (рис.2).

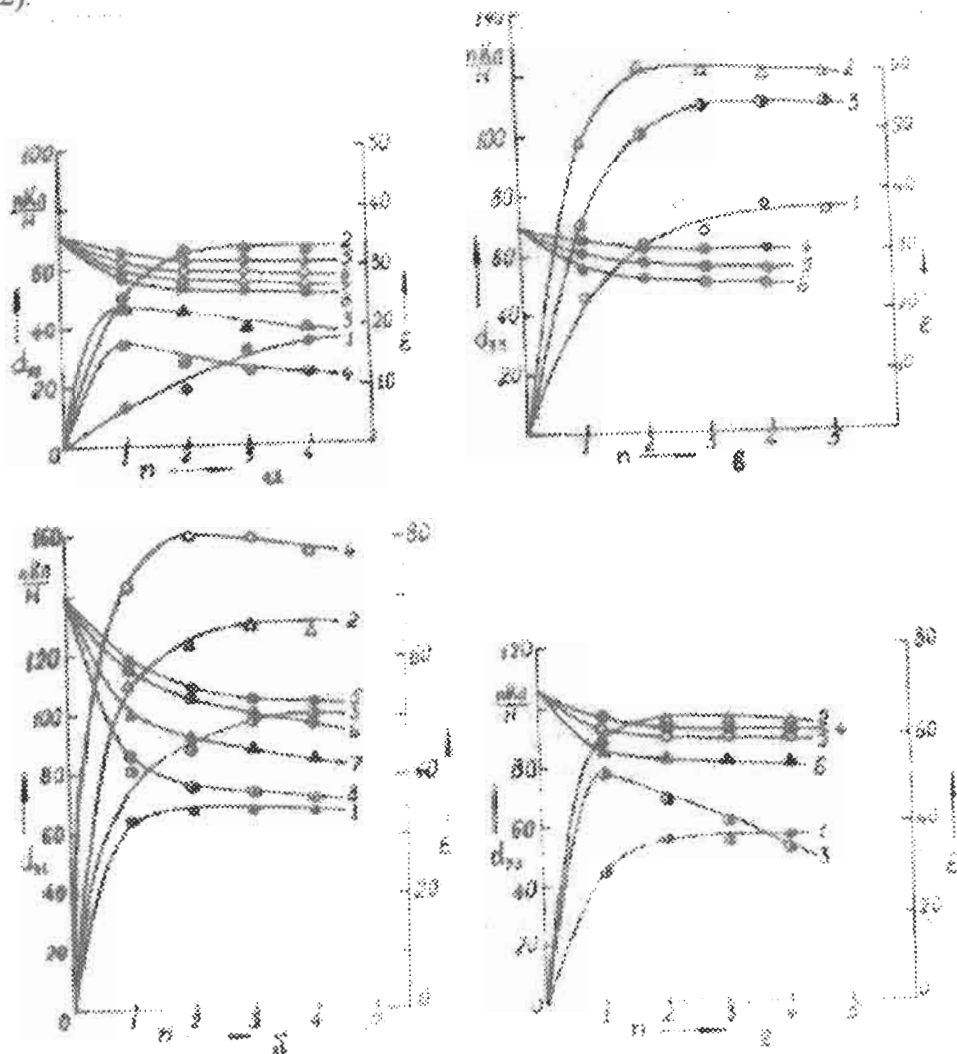


Рис.2. Изменение  $d_{33}$ ,  $\epsilon$  от циклов (n) электрополевой поляризации.

- а) ПЭВП+ПКР-3М,  $T_n = 373\text{ K}$ ,  $d_{33} - 1,2,3,4$ ;  $\epsilon = 5,6,7,8$ ; заполяризованы при  $E_n = 1,7; 2,8; 4,0; 4,5 \text{ МВ/м}$  соответственно; б) ПВДФ+ПКР-3М,  $T_n = 413\text{ K}$ ,  $d_{33} - 1,2,3,4$ ;  $\epsilon - 5,6,7,8$ . Заполяризованы при  $E_n = 1,6; 2,1; 3,3; 4,5 \text{ мВ/м.}$ ; в) ПП+ПКР-3М,  $T_n = 393 \text{ K}$ ,  $d_{33} - 1,2,3$ ;  $\epsilon - 4,5,6$  заполяризованы при  $E_n = 1,7; 2,6; 4,0 \text{ мВ/м}$  соответственно.; г) Ф42+ПКР-3М,  $T_n = 373 \text{ K}$ ,  $d_{33} - 1,2,3$ ;  $\epsilon - 4,5,6$  заполяризованы при  $E_n = 2,0; 5,0; 6,0 \text{ мВ/м}$  соответственно.

Циклическая электротермопольевая поляризация существенно влияет также на величину диэлектрической характеристики ( $\epsilon$ ,  $\tan \delta$ ) и стабилизированного заряда (Q) пьезоэлементов (рис.3). Эффект изменения пьезо- и диэлектрических параметров при циклической электротермопольевой поляризации зависит от напряженности поля поляризации, причем этот эффект наблюдается практически для всех композиций; в композициях на основе неполярных (ПЭВП и ПП) (рис.2 а, в) и полярных (ПВДФ и Ф42) (рис.2 б; г) полимерных диэлектриков.

Результаты, представленные на рис.3, показывают, что образовавшиеся в процессе поляризации заряды являются определяющим фактором в изменении пьезо- и

диэлектрических параметров композиций при циклической электротермополевой поляризации.

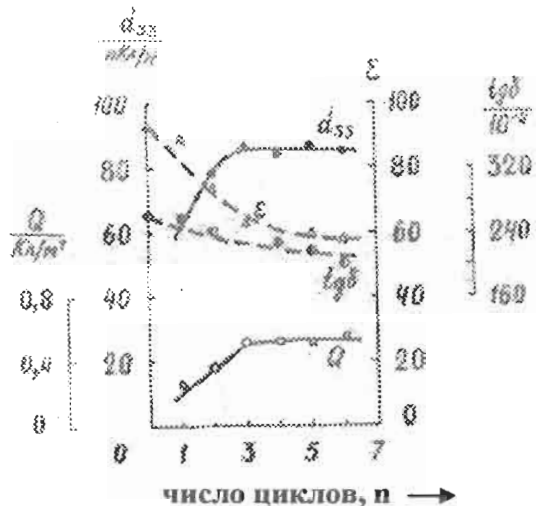


Рис.3. Зависимости  $Q$ ,  $d_{33}$ ,  $\epsilon$ ,  $\operatorname{tg} \delta$  от  $n$ .  $E_a = 5,0 \text{ мВ/м}$ ;  $T_a = 393 \text{ К}$ .

Действительно, с увеличением числа циклов поляризации величина  $(Q)$  композиции ПВДФ+ПКР-7М сначала растет (до 3 цикла), а затем стремится к насыщению. Практически по такому же закону изменяется пьезомодуль композиции. Видно, что диэлектрические характеристики обратно пропорциональны величине заряда, т.е. с увеличением  $Q$  уменьшается  $\epsilon$  и  $\operatorname{tg} \delta$ .

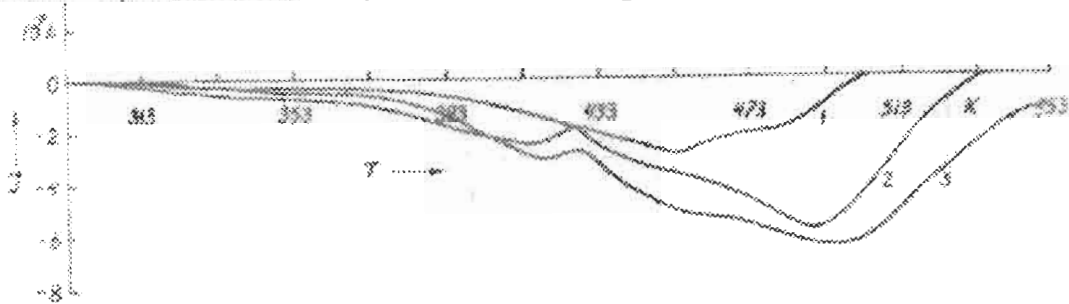


Рис.4. Кривые ТСД пьезокомпозиции ПВДФ+ПКР-7М. 1 – ТСД поле первого; 2 – третьего; 3 – шестого цикла поляризации.

Из кривых ТСД (рис.4) наглядно видно, что циклическая термополевая поляризация влияет не только на величину заряда, оцениваемую по площади зависимости  $I=F(t)$  но и изменяет (увеличивает) температуру возникновения максимумов тока ТСД. Значит циклической электро-термоэлектризацией удается превысить первоначальную плотность заряда и в то же время улучшить его стабильность. На рис.5 приведены результаты экспериментов по временной зависимости пьезомодуля пьезокомпозиций на основе полярных и неполярных полимеров. Отметим, что практически все пьезокомпозиции проявляют чрезвычайно высокую стабильность пьезомодуля при комнатной температуре. Видно также, что пьезомодуль композиции на основе фторосодержащих полимеров сначала со временем уменьшается, а затем стабилизируется. Улучшение стабильности созданных в пьезокомпозициях зарядов в процессе циклической электротермоэлектризацией приводит к заметному уменьшению степени снижения композиций на основе фторуглеродистых полимеров на начальном этапе хранения. Этот эффект наглядно виден из временной зависимости  $d_{33}$ , показанной на рисб, для композиций ПВДФ+ПКР-3М (кривые 4, 4', 4'') и ПВДФ +ПКР-7М (кривые 2, 2', 2''). Влияние

циклической термоэлектризации на стабильность зарядов пьезокомпозиции связано с повторным захватом носителей более глубоко расположенными уровнями, а также их изменением степени структурирования полимерной матрицы при каждой электризации, что в итоге сопровождается смещением максимумов тока ТСД к более высоким температурам и увеличением величины накопившихся зарядов в пьезокомпозициях.

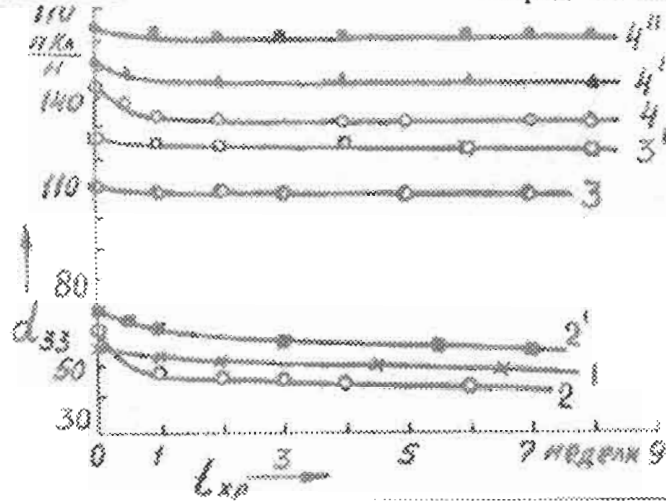


Рис. 5. Временная зависимость  $d_{33}$  при 293К.

1-ПЭВП +ПКР-1; 2- ПВДФ+ПКР-7М; 2'- ПВДФ+ПКР-7М (после второй обработки); 3 – ПП+ПКР-3М; 3'- ПП+ПКР-3М; (после второй обработки). 4 -ПВДФ+ПКР-7М; 4'-ПВДФ+ПКР-3М (после первой обработки); 4"- ПВДФ+ПКР-3М (после второй обработки).

Следует особо подчеркнуть. Что циклическая термополяризация приводит к существенному увеличению пьезочувствительности  $d_{33}$  полимерных пьезокомпозиций из-за увеличения  $d_{33}$  и одновременно уменьшения диэлектрической проницаемости  $\epsilon$  (рис.3). Поэтому особый интерес представляет исследование диэлектрических характеристик полимерных пьезокомпозиций после их поляризации с точки зрения разработки высокочувствительных пьезоэлементов с низкими диэлектрическими потерями. Нами было изучено влияние температуры и электрического поля поляризации на  $\epsilon$  и  $\operatorname{tg}\delta$  пьезокомпозиции на основе различных полимеров и сегнетоэлектриков. В качестве пьезонаполнителя были выбраны пьезокерамики с низкой и высокой температурой Кюри, а именно  $\text{BaTiO}_3$  и ПКР-3М с температурами  $T_k$ , равными 393К и 533 К соответственно. На рис.6 и 7 приведены температурной зависимости  $\epsilon$  и  $\operatorname{tg}\delta$  пьезокомпозиций на основе различных полярных полимеров до и после поляризации при различных напряженностях электрического поля и температуры электризации. Из рисунков 6 (а, б) видно, что у неполяризованных образцов при объемном содержании  $\text{BaTiO}_3$  в композициях  $\text{ПЭВП}+\text{BaTiO}_3 \geq 20\%$  диэлектрическая проницаемость  $\epsilon$  зависит от температуры растет и достигает максимума в интервале температур 343-385 К, а затем уменьшается, причем минимальное значение достигается при 398 К. Температурная зависимость  $\epsilon$  композиции  $\text{ПЭВП}+\text{BaTiO}_3$  существенно изменяется после поляризации, причем с увеличением  $E_p$  и  $T_p$  степень уменьшения  $\epsilon$  по сравнению с  $\epsilon$  исходной композиции при всех температурах заметно растет (рис.6 а, б).

После поляризации при относительно высоких напряженностях электрического поля диэлектрическая проницаемость пьезокомпозиции  $\text{ПЭВП}+\text{BaTiO}_3$  очень слабо зависит от температуры. Однако температура возникновения минимума зависимости

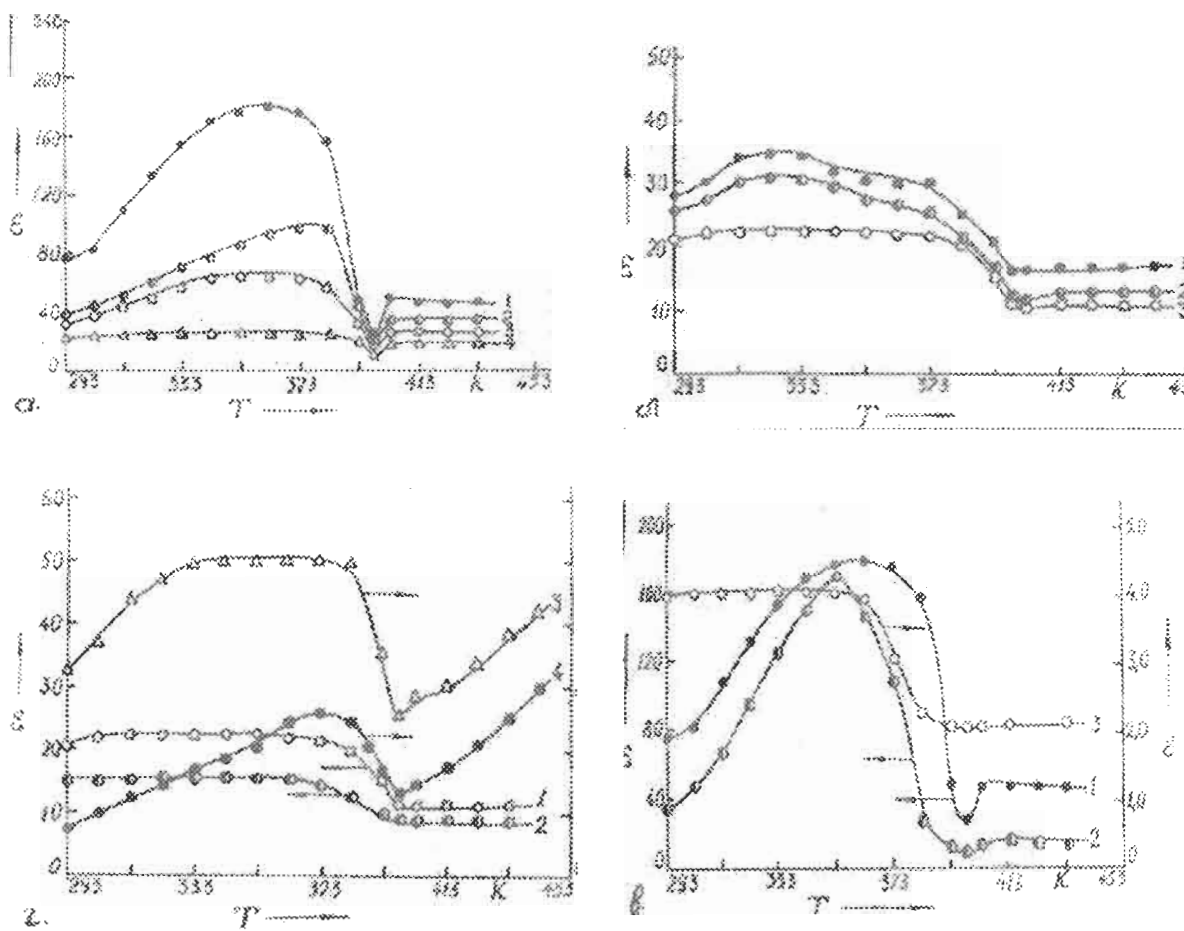


Рис.6. Зависимость  $\epsilon$ ,  $\operatorname{tg} \delta$  от Т.

а – 1- $\epsilon$  до поляризации; 2,3,4 – соответственно  $\epsilon$  после поляризации при  $T_p = 373$  К и  $E_p = 1,0; 0,3, 0; 5,0$  мВ/м.; б) 1,2,3 соответственно  $\epsilon$  после поляризации при  $E_p = 1,5$  мВ/м и  $T_p = 373; 393; 403$  К.; в) 1 –  $\Phi = 50$  % об., 2 –  $\Phi = 30$  % об., 3 –  $\Phi = 10$  % об.; г) 1,3 соответственно  $\epsilon$  и  $\operatorname{tg} \delta$  после поляризации при  $E_p = 1,5$  мВ/м  $T_p = 439$  К; 2, 4 соответственно  $\epsilon$  и  $\operatorname{tg} \delta$  при  $E_p = 3,0$  мВ/м,  $T_p = 493$  К.

$\epsilon = F(T)$  практически не изменяется, причем этот минимум наблюдается всегда. Отметим, что характер изменения  $\epsilon$  композиции ПЭВП+ BaTiO<sub>3</sub> от температуры зависит от объемного содержания BaTiO<sub>3</sub> в композиции (рис. 6в). Поляризация пьезокомпозиции ПЭВП+ BaTiO<sub>3</sub> приводит и к заметному уменьшению  $\operatorname{tg} \delta$  (рис. 6г). На рис. 7 (а, б) приведены температурные зависимости  $\epsilon$  и  $\operatorname{tg} \delta$  пьезокомпозиции на основе ПП и ПВДФ, наполненных BaTiO<sub>3</sub>, соответственно. Видно, что при использовании в качестве полимерной матрицы полипропилена диэлектрическая проницаемость неполяризованной композиции ПП+50% об. BaTiO<sub>3</sub> в зависимости от Т сначала растет и достигает максимума в интервале температур от 353 до 373 К, а затем уменьшается. Минимальное значение достигается при температуре, Приблизительно равной 418 К, что на 20 К больше, чем в случае композиций на основе ПЭВП.

Здесь также наблюдается заметное уменьшение  $\epsilon$  и  $\operatorname{tg} \delta$  после поляризации. Интересные результаты получены в случае использования в качестве полимерной матрицы полярного фтороуглеродистого полимера ПВДФ (рис. 7б). Температурная зависимость  $\epsilon$  композиции ПВДФ+50% об. BaTiO<sub>3</sub> имеет более сложный характер,

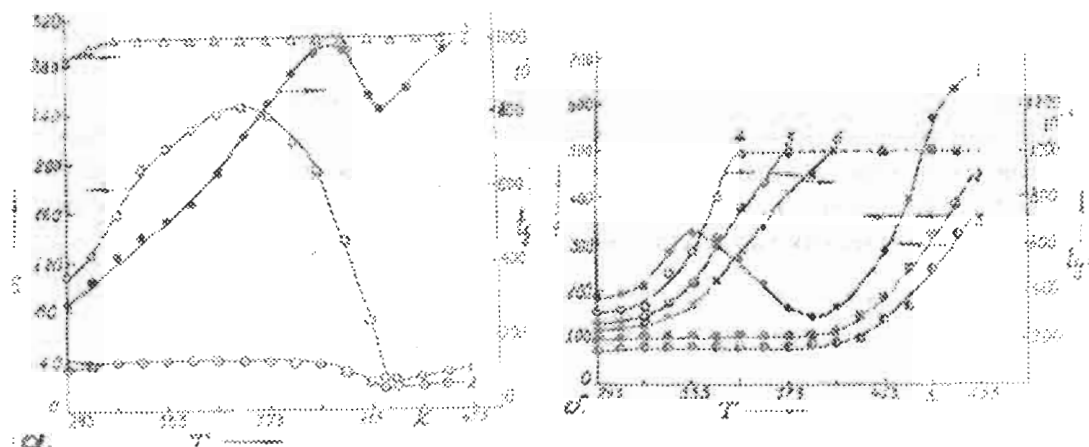


Рис. 7. Зависимости  $\epsilon$  и  $\operatorname{tg}\delta$  от Т.

а ) 1,3 соответственно  $\epsilon$  и  $\operatorname{tg}\delta$  до поляризации; 2,4 -  $\epsilon$  и  $\operatorname{tg}\delta$  после поляризации при  $T_p = 373$  К и  $E_p = 3,0$  мВ/м; б) 1,4 соответственно  $\epsilon$  и  $\operatorname{tg}\delta$  до поляризации; 2,5 -  $\epsilon$  и  $\operatorname{tg}\delta$  после поляризации при  $T_p = 373$  К,  $E_p = 1,0$  мВ/м; 3,6 -  $\epsilon$  и  $\operatorname{tg}\delta$  после поляризации при  $T_p = 373$  К,  $E_p = 2,0$  мВ/м.

она имеет экстремальные точки, причем первый максимум наблюдается при 333 К, а минимальное значение  $\epsilon$  достигается при 383 К. Как для композиций на основе ПП и ПЭВП, так и для поливинилденфторидовой композиции при определенных значениях напряженности электрического поля поляризации  $E_p$  первый максимум зависимости  $\epsilon=F(T)$  практически исчезает. Наблюдаются и заметное уменьшение  $\operatorname{tg}\delta$ . Также результаты получены и для композиций на основе полиолефинов и фторуглеродистых полимеров, содержащих пьезокерамику с высокой температурой Кюри (рис.8).

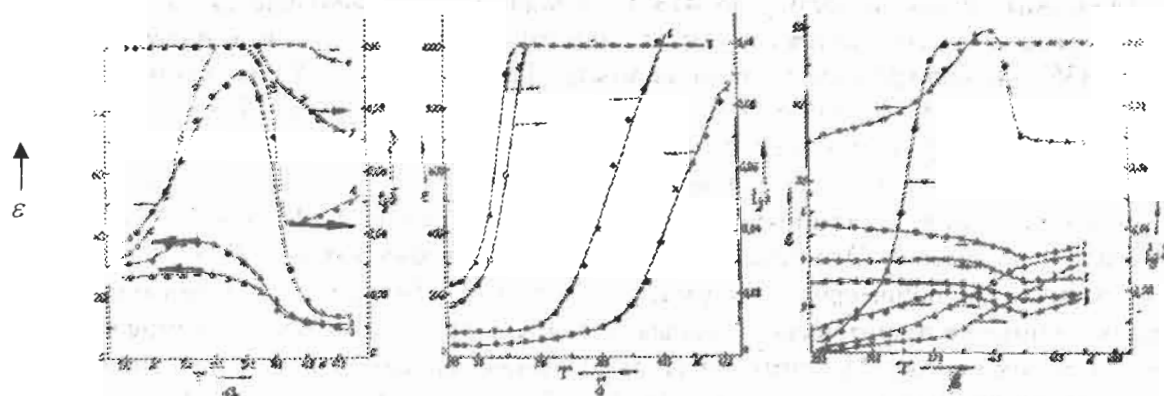


Рис. 8. Зависимость  $\epsilon$  и  $\operatorname{tg}\delta$  от Т.

а) ПЭВП +50 % об. ПКР-ЗМ. 1,4 соответственно  $\epsilon$  и  $\operatorname{tg}\delta$  до поляризации; 2,5 -  $\epsilon$  и  $\operatorname{tg}\delta$  после поляризации при  $T_p = 353$  К,  $E_p = 1,5$  мВ/м; 3,6 -  $\epsilon$  и  $\operatorname{tg}\delta$  после поляризации при  $T_p = 353$  К,  $E_p = 3,0$  мВ/м.; б) ПВДФ+50% об. ПКР-ЗМ. 3 до поляризации; 2,4 - после поляризации при  $T_p = 373$  К,  $E_p = 3,0$  мВ/м.; в) 1,2 -  $\epsilon$  и  $\operatorname{tg}\delta$  композиции ПП+50% об. ПКР-ЗМ; 3,4 -  $\epsilon$  и  $\operatorname{tg}\delta$  - ПП+20% об.ПКР-ЗМ; 5,6 -  $\epsilon$  и  $\operatorname{tg}\delta$  ПП+10% об. ПКР-ЗМ; 7,8 -  $\epsilon$  и  $\operatorname{tg}\delta$  ПП+5% об.ПКР-ЗМ.

Таким образом, полученные многочисленные результаты показывают, что электротермополяризация полимерных пьезокомпозиций приводит к заметному уменьшению их диэлектрических характеристик ( $\epsilon$ ,  $\operatorname{tg}\delta$ ). Циклическая термоэлектризация приводит еще и к дополнительному уменьшению  $\epsilon$  и  $\operatorname{tg}\delta$  композиций, что можно успешно использовать для повышения пьезочувствительности пьезоэлементов на основе полимерных пьезокомпозиций. Для объяснения характера температурного изменения композиции до и после поляризации приведено исследование диэлектрических характеристик полимерной матрицы.

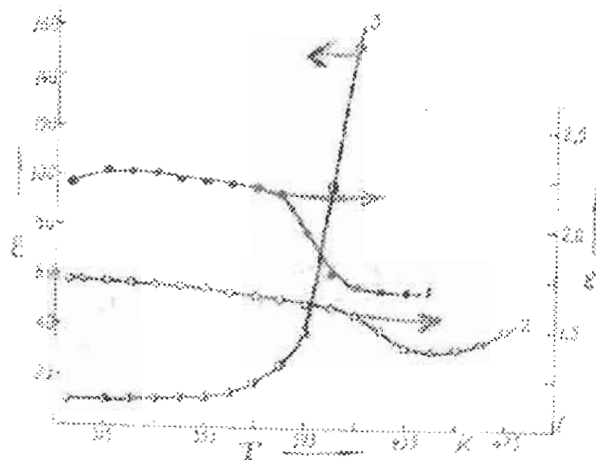


Рис.9.  $\epsilon = F(T)$ . 1 – ПЭВП; 2 – ПП; 3 – ПВДФ.

На рис.9 приведены температурные зависимости  $\epsilon$  для ПЭВП (кривая 1), ПП (кривая 2) и ПВДФ (кривая 3). Видно, что диэлектрическая проницаемость ПЭВП до 373К практически не изменяется, а затем с ростом Т заметно уменьшается и достигает минимума приблизительно в интервале температур от 398К до 413К. Для ПП диэлектрическая проницаемость до 413 К незначительно уменьшается и далее с ростом Т заметно уменьшается, достигая минимума приблизительно в интервале от 433К до 443К. Диэлектрическая проницаемость ПВДФ с ростом Т сначала медленно растет, а начиная с 370К скорость ее роста от Т сильно возрастает. Таким образом, существует заметное различие между температурными зависимостями  $\epsilon$  ПЭВП, ПП, ПВДФ и композиций на их основе. Первый максимум  $\epsilon$ , наблюдаемый для композиций на основе указанных полимеров, отсутствует в  $\epsilon=F(T)$  исходных (не заполненных) полимеров. Это показывает, что максимум зависимости  $\epsilon=F(T)$  связан с присутствием в полимерной матрице пьезочастиц. Температура минимума  $\epsilon$  исходных полимеров практически совпадает с температурой минимума  $\epsilon$  композиций, созданных на их основе. Максимум в температурной зависимости  $\epsilon$  композиций не связан с фазовым переходом пьезонаполнителей, так как его температура заметно отличается от температуры Кюри пьезокерамики. Кроме того, композиции ПЭВП+BaTiO<sub>3</sub> и ПП+BaTiO<sub>3</sub>, содержащие одинаковые пьезокерамики с температурой Кюри 393 К (BaTiO<sub>3</sub>), имеют минимальное значение  $\epsilon$  при температурах 398 К (рис.6 а,б,в,г) и 425 К (рис.7 а) соответственно. Полученные результаты свидетельствуют о том, что наблюдаемый спад величины диэлектрической проницаемости полимеров и пьезокомпозиций на их основе связан с плавлением и, следовательно, с объемным расширением полимерной матрицы.

Рассмотрим возможные причины, приводящие к исчезновению первого максимума диэлектрической проницаемости, связанного с присутствием в полимерной матрице пьезочастиц.

Таблица 1.

Полимерная пьезокомпозиция	Степень увеличения пьезочувствительности $g_{33}^{\text{об}}/g_{33}$
ПП + ПКР-ЗМ	1,53
ПЭНП + ПКР-ЗМ	1,26
ПВДФ + ПКР-ЗМ	1,4

Таблица 2.

Полимерная пьезоком- позиция	Условие Обработки	T <sub>п</sub> , К	Время Обработки Об.час.	E <sub>п</sub> , МВ/М	Δε	tg δ	g <sub>33</sub>	d <sub>33</sub>
ПП+ПКР-ЗМ	Циклическая Электро- поляризация	393	I+I+I	3	14	45	0,66	79
ПП+ПКР-ЗМ	Длительная электротер- мообработка	393	3	3	9	91	0,45	70
ПП+ПКР-ЗМ	Длительная термообра- ботка	393	3	-	9	-	-	65

Полимерная пьезокомпозиция является гетерогенной системой, состоящей из полимерной и сегнетопьезоэлектрической фаз с различной электропроводностью и диэлектрической проницаемостью. Поэтому, межслоевая поляризация в таких системах неизбежна. При термоэлектретировании пьезокомпозиции на границе ее между различными компонентами (сегнетоэлектрик и полимер) будут накапливаться заряды, которые компенсируют поляризацию пьезочастицы, что и является причиной уменьшения диэлектрической проницаемости композиции после ее термоэлектретирования. Отметим, что компенсация поляризации на границах зерен способствует стабилизации величины ориентационной доменной поляризации и препятствует их релаксации.

В заключение отметим, что самое большое увеличение пьезочувствительности после циклической термоэлектрополяризации достигается для композиции ПП+ПКР-ЗМ. В таблице 1 приведено максимальное относительное увеличение величины  $g_{33}$  некоторых исследованных композиций, содержащих в качестве наполнителя 40% об. пьезокерамики ПКР-ЗМ.

Еще лучшие преимущества циклической термоэлектризаций видно из сравнительной таблицы 2, в которой приведены результаты измерения пьезоэлектрических и диэлектрических свойств композиций ПП+ПКР-ЗМ, подвергавшихся длительной термоэлектризации (в течение 3 часов), термообработке (при отсутствии электрического поля) и трехкратной циклической электротермополяризации. Из таблицы видно, что циклическая электротермообработка является наиболее эффективным способом поляризации пьезокомпозиций.

- 
- [1] Фесенко Е.Г., Данцигер А.Я., Разумовская О.Н. Новые пьезокерамические материалы. Ростов-на-Дону, РГУ, 1983.
  - [2] Мэклин Э.Д. Терморезисторы. Москва. «Радио и связь». 1983.
  - [3] Полупроводники на основе бария. Под ред. К.Окадзаки. Москва. Энергоиздат. 1982.

## **KOMPOZİT POLİMER-PYEZOKERAMİKANIN PYEZOELEKTRİK PARAMETRLƏRİNİN TEKNOLOJİ ÜSULLARLA YÜKSƏLDİLMƏSİ**

**ƏLİYEV Q.Q., İMAMVERDİYEVA S.Q., QURBANOV M.A.**

Pyezoelektrik kompozitlərin siklik elektrotermopoliarizasiyası onların pyezomodulunu və pyezohəssaslığını artırır. Bu prosesdə polimer fazann molekulyarüstü quruluşu köskin dəyişir və fazalararası poliarizasiya prosesləri güclənir. Sərhəd poliarizasiya prosesləri polimer fazanın heterogenliyindən asılıdır.

## **TECHNOLOGICAL RECEPTIONS OF INCREASE OF PIEZOELECTRIC PARAMETERS OF THE COMPOSITE POLYMER – PIEZOCERAMICS**

**ALIEV G.G., IMAMVERDIYEVA S.Q., KURBANOV M.A.**

Cyclic electrothermal polarization leads to increase of piezomodule and piezosensitive. In this case super molecular structure of a polymer phase of a composite changes variable. Interphase polarization processes depend on heterogeneity of polymer phase.

PIEZOCERAMICS  
COMPOSITE MATERIALS  
INTERPHASE POLARIZATION

RESULTS

RESULTS  
METHODS

RESULTS

RESULTS

RESULTS

RESULTS